

# 冉绍尔-汤森效应实验探讨

08300300058 韩雪松 材料物理

### 摘要:

本实验用充气闸流管，通过测量液氮环境下和室温下屏蔽极电流  $I_s$  和透射电流  $I_p$  与加速电压  $V_A$  的关系，得到低能电子与气体原子的散射概率  $P_s$  与电子速度的关系，验证了冉绍尔-汤森效应，并对其做出了量子理论解释；验证性地测量了氩原子的电离电压。

### 关键词:

冉绍尔-汤森 (R-T) 效应、散射几率、散射截面、加速电压、补偿电压、电离电压

## 1. 引言:

1921 年，德国物理学家卡·冉绍尔 (Carl Ramsauer) 在研究电子与氩原子的碰撞实验中，发现当电子的能量较高时，氩原子的散射截面随着电子能量的降低而增大；当电子的能量小于十几个电子伏特后，散射截面却随着电子能量的降低而迅速减小。1922 年，英国卡文迪许实验室的 J.S.汤森 (J.S. Townsend) 在测量电子在气体原子和分子中的自由程时，发现当电子以极慢的速度在氩原子中运动时，电子的自由程特别长，能量为 0.37eV 时，出现极大值。随后，冉绍尔等用实验证实了汤森的结果。在经典理论中，散射截面与电子的运动速度无关，而冉绍尔与汤森等人的发现是不符合经典的气体分子动理论的，这一现象只能用量子力学理论解释。

## 2. 实验原理:

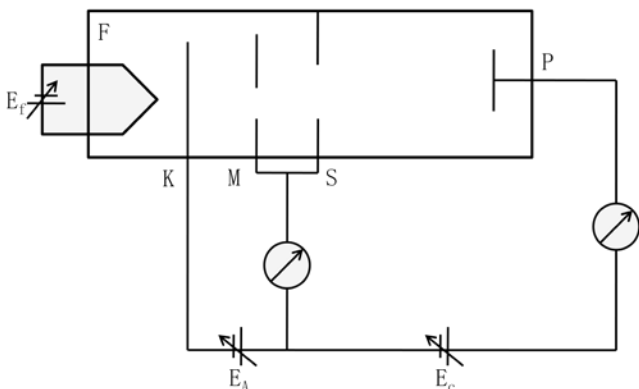


图 1 测量原理图

$E_f$  为灯丝加热电压，F 为灯丝，K 为发射电子的阴极，MK 之间为加速电场，P 为收集极，SP 之间为等势区； $E_A$  为加速电压，使由阴极发射的电子加速； $E_c$  是板极与栅极之间的补偿电源，用以补偿空间的接触电势差。

当灯丝加热后，就有电子自阴极逸出，设阴极电流为  $I_k$ ，电子在板极电压的加速下，有一部分电子在达到栅极之前，为屏蔽极接受，形成电流  $I_{s1}$ ，有一部分则穿越 S 上的矩形孔，形成电流  $I_0$ 。由于 S 的矩形孔与板极 P 之间是一个等势空间，所以电子穿越矩形孔后就以恒定速度运动，受到气体原子散射的电子则到达屏蔽极，形成散射电流  $I_{s2}$ ；而未收到散射的电子则达到板级，形成透射电流（板流） $I_p$ ，因此有：

$$I_k = I_0 + I_{s1}$$

$$I_s = I_{s1} + I_{s2}$$

$$I_0 = I_p + I_{s2}$$

电子在等势区的内的散射概率为：

$$P_s = 1 - \frac{I_p}{I_0}$$

$I_0$  不能直接测量得到，需用间接的方法来测量，定义：

$$f = \frac{I_0}{I_{s1}}$$

f 称为几何因子，它与管子的几何结构及所用的加速电压、阴极电流有关。

为了测量 f，把充气闸流管的管端部分浸入温度为 77K 的液氮中，使管内的气体冻结，此时：

$$f = \frac{I_p^*}{I_s^*}$$

若这时阴极电流与加速电压保持与  $P_s = 1 - \frac{I_p}{I_0}$  和  $f = \frac{I_0}{I_{s1}}$  时相同，则有：

$$P_s = 1 - \frac{I_p}{I_{s1}} \cdot \frac{I_s^*}{I_p^*}$$

设 L 为出射孔 S 到板极 P 之间的距离，由  $P_s(x) = 1 - e^{-n\sigma x}$ ，可得总有效截面 Q：

$$Q = n\sigma = -\frac{1}{L} \ln(1 - P_s) = -\frac{1}{L} \ln \frac{I_p}{I_{s1}} \cdot \frac{I_s^*}{I_p^*}$$

### 3. 实验过程:

#### 3.1 交流观察 R-T 效应

分别在室温下和液氮环境下, 用示波器观察  $I_s$ - $V_A$  和  $I_p$ - $V_A$  曲线, 调节  $E_c$ , 使两曲线基本重合, 以初步补偿接触电位差;

#### 3.2 直流观察 R-T 效应并测量 $I_s$ 、 $I_p$ 和 $V_A$ 的值

- (1) 用微电流计对补偿电压作进一步细调;
- (2) 在室温下改变  $V_A$  的值 (0~10V), 记录一组  $I_s$ 、 $I_p$  和  $V_A$  值;
- (3) 在液氮环境下, 重复步骤 2. (2)

#### 3.3 用二极管法测量氙原子的电离电压

### 4. 结果与讨论:

#### 4.1 $I_s$ - $V_A$ 和 $I_p$ - $V_A$ 关系:

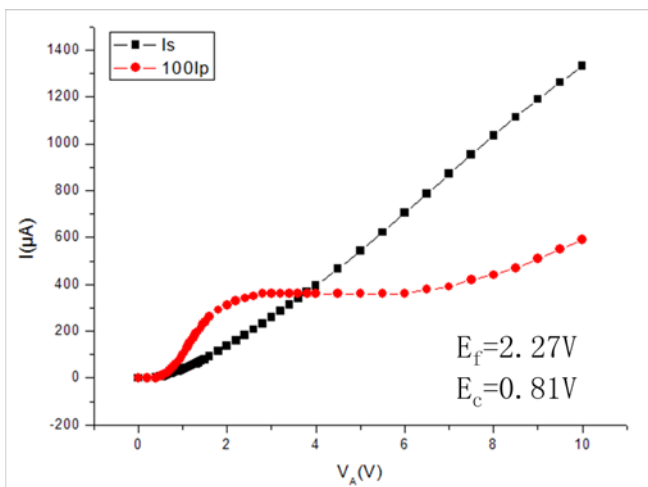


图 2 常温下  $I_s$ - $V_A$ ,  $I_p$ - $V_A$  关系图

从图 2 中可以看出, 栅流  $I_s$  随加速电压  $V_A$  的增大而增大,  $I_s$ - $V_A$  呈“类线性”关系; 从整个趋势上看,  $I_p$  也随  $V_A$  的增大而增大, 但是并没有如  $I_s$ - $V_A$  那样良好的“类线性”关系, 这是由于电子在碰撞管等势区内受到散射所引起的;  $V_A=1.0V$  左右时,  $I_p$  斜率有最大值, 正是由于电子受到散射, 才会在  $V_A$  的增加过程中出现突变;

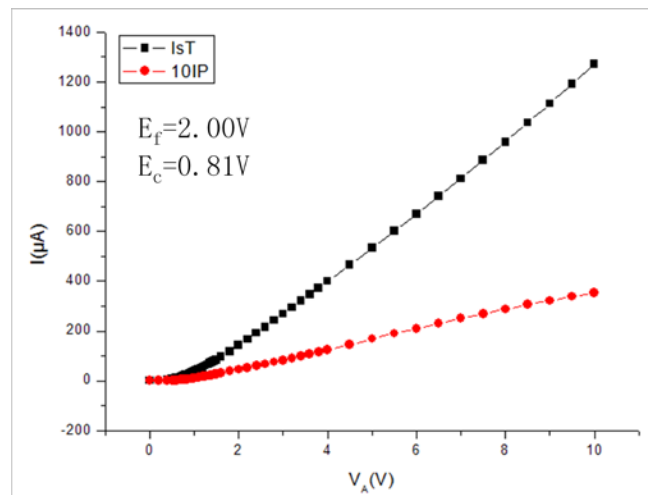


图 3 低温下  $I_s$ - $V_A$ ,  $I_p$ - $V_A$  关系图

从图 3 中可以看出,  $I_s^*$ 、 $I_p^*$  均随  $V_A$  的增大而增大,

且均如图 2 中所示的“类线性”关系; 由此可知, 当充气闸流管处于液氮环境下时, 管内的电子几乎不发生散射现象, 这是因为管内所充的氙-氦混合气在 77K 时已经液化 (氙和氦的液化温度分别为 165.02K 和 119.79K), 此时管内相当于真空状态, 故电子不会发生散射。

#### 4.2 $P_s$ - $\sqrt{V_A}$ 关系

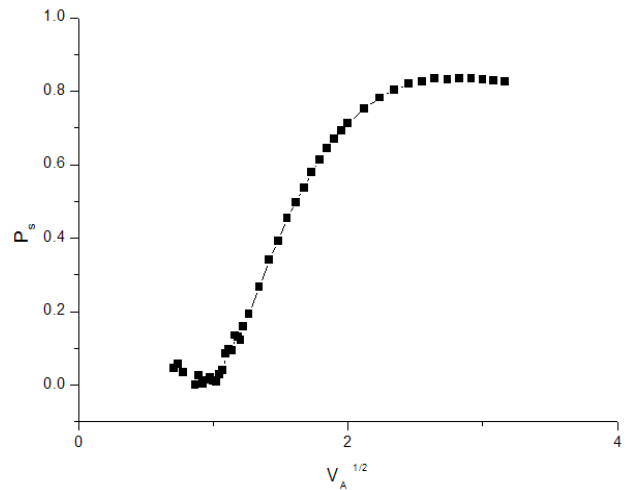


图 4  $P_s$ - $\sqrt{V_A}$  关系图

图 4 中所选用的数据均为 4.1 中条件下测量得到的。考虑到  $V_A$  由 0 开始增大时仪器读数非常不稳定, 舍去较前的几组数据, 得到图 4。从图中可以读出, 当  $\sqrt{V_A}=0.95V$ , 即  $V_A=0.9025V$  时,  $P_s$  有最小值 0, 即散射截面出现极小值, 这应与图 3 中  $I_p$  斜率最大处 ( $V_A=1.0V$ ) 相对应; 理论上, 当  $E=0.9eV$  时, 散射截面出现极小值, 实际测得  $E_{min}=0.9025eV$ , 相对误差为 0.28%, 与理论值非常接近。之后  $P_s$  迅速增大, 在  $\sqrt{V_A}=2.66$ , 即  $V_A=7.0756V$  时出现最大值, 此时  $P_s=0.833$ , 理论上,  $V_A=6.5V$  时  $P_s$  出现最大值, 相对误差为 8.86%。

误差分析: 除了仪器本身的因素外, 造成  $V_A$  最大值有较大偏差的原因有以下几点: (1) 由图 2、图 4 中可知, 随着  $V_A$  的不断增大,  $I_s$  的值变化范围很大, 故测量过程中需要换量程读数, 这一过程会造成读数的不准确, 对结果产生一定影响; (2) 测量环境不能达到实验要求, 尤其是在液氮环境下测量时, 保温杯的气密性、液氮的快速挥发都会使实验结果产生偏差。

#### 4.3 $f$ - $V_A$ 关系

图 7 为  $f$ - $V_A$  关系图,  $f$  一开始随  $V_A$  的增大迅速增大, 当  $V_A=1.5V$  时,  $f$  达到最大值, 之后  $f$  不断减小, 在  $f=0.03$  左右保持较为稳定的变化, 随后又随  $V_A$  的增

大而减小。

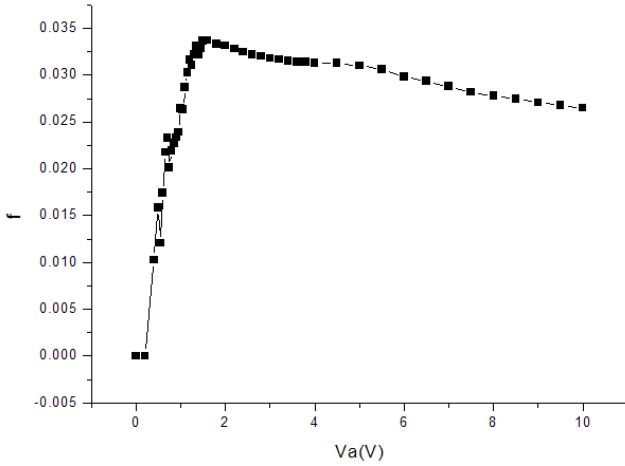


图 5 f-V<sub>A</sub>关系图

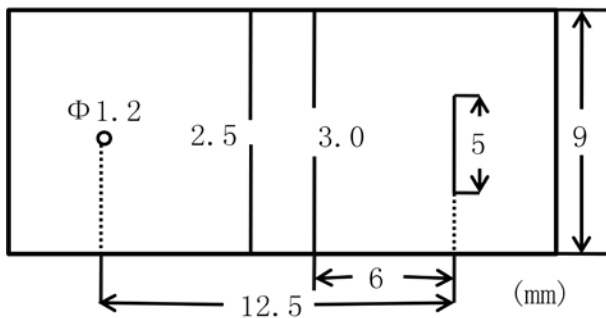


图 6 充气闸流管俯视图

根据图 6 估算 f 的值，假设粒子在全空间内都能进行散射，则有：

$$f = \frac{2.5^2 / (12.5 - 6)^2}{4\pi} \approx 0.012$$

从图 5 可以看出，实际测得的 f 并不是一个定值，且  $f < 0.035$ ，这应是加速电压和阴极电流的影响，虽然实际结果与理论值有一定差距，但数量级并没有改变，所以可以认为 f 主要是由充气闸流管尺寸决定，加速电压和阴极电流对其的影响还需要进一步实验验证。

对于 f 的变化，原因有以下几点：(1)  $V_A$  由 0 开始增大时，读数非常不稳定，故曲线一开始变化较紊乱， $V_A = 1.5V$  时出现最大值，这应对应  $P_S$  出现极小值时的情形，但  $V_A$  的值要远大于  $0.9V$ ，这应当是加速电压和阴极温度等因素对实验造成的影响；(2) 随着  $V_A$  的增大，虽然被加速的电子越来越多，但被屏蔽的电子数仍很多，故而 f 又随  $V_A$  的增大而减小。

### 4.4 氙原子的电离电压

真空二极管工作在空间电荷限制区，阳极电流和阳极电压之间的关系为：

$$I = KV^{\frac{3}{2}}$$

即

$$\lg I = \frac{3}{2} \lg V_A + \lg K$$

根据上述关系，做  $\lg(I_s + I_p) - V_A$  关系图：

所得两直线方程分别为：

$$AB: \lg I = 1.495481 \lg V_A + 3.419;$$

$$BC: \lg I = 14.37096 \lg V_A - 29.92484;$$

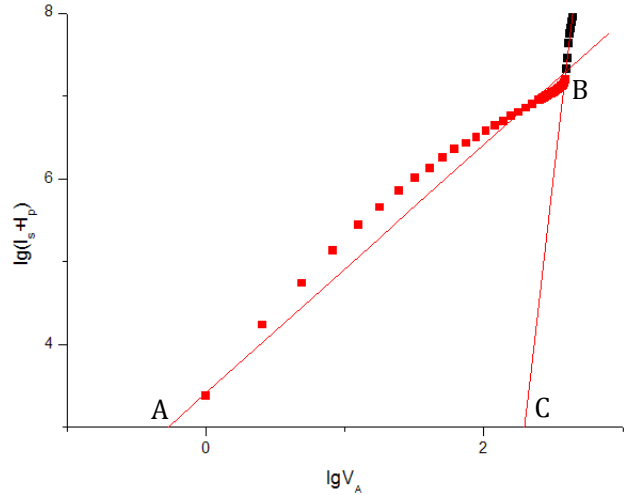


图 7  $\lg I - \lg V_A$  关系图

联立上述方程，解得氙原子的电离电压为  $13.33V$ ，理论值为  $12.13V$ ，相对误差为  $9.86\%$ 。

由图 7 中可以看出，AB 段数据并不是成良好的线性关系，虽然拟合结果显示其斜率为  $1.495481$ ，与理论值  $1.5$  非常接近，但是明显可以看出 AB 之间的数据点呈曲线分布，对这一现象，分析如下：

(1)  $V_A$  由 0 开始增大时，由于电流很小，很可能超过了仪器的精度范围，故读数有一定偏差；

(2) 补偿电压  $E_c$  对结果有一定影响，若  $E_c$  过大，则会抵消低灯丝电压下产生的能量较小的电子，使阳极电流发生改变，故对电流和电压不能严格的遵守二分之三次方定律；

(3) 充气闸流管所处的环境为  $77K$  的液氮中，虽然此时已保证温度均在氙和氙的液化温度下，但不能保证高真空状态，而二分之三次方定律要求工作在高真空状态，故也会造成一定的影响。

### 4.5 冉绍尔-汤森效应的量子理论解释

经典理论中，粒子被视作刚性球，其散射截面 Q 与瞄准距离（碰撞参数）d 有如下关系：

$$Q = \pi d^2$$

与粒子速度无直接关系，无法解释冉绍尔-汤森效应。

量子理论中，将电子看作平面波  $\psi = e^{ikz}$ 。设入射粒子与散射中心之间的相互作用势能用中心力场为  $U(r)$  表示，并假定  $r \rightarrow \infty$  时， $U \rightarrow 0$ ，则体系的薛定谔方程写为：

$$\frac{\hbar^2}{2\mu} \nabla^2 \psi + U(r)\psi = E\psi$$

令  $k^2 = \frac{2\mu E}{\hbar^2}$ ,  $V(r) = \frac{2\mu}{\hbar^2} U(r)$ , 在中心力场情况下, 势能只与  $r$  的大小有关, 故有:

$$\nabla^2 \psi + [k^2 - V(r)]\psi = 0$$

$r \rightarrow \infty$  时, 入射波与散射波共存, 故满足上式的波函数应当满足以下的边界条件:

$$\psi_{r \rightarrow \infty} \rightarrow \psi_1 + \psi_2 = e^{ikz} + f(\theta, \varphi) \frac{e^{ikr}}{r}$$

其中,  $f(\theta, \varphi)$  是沿  $(\theta, \varphi)$  方向向外传播的散射波的振幅, 称为散射振幅。

对于方程  $\nabla^2 \psi + [k^2 - V(r)]\psi = 0$ , 一般解有以下形式:

$$\psi(r, \theta, \varphi) = \sum_{l,m} R_l(r) Y_{lm}(\theta, \varphi)$$

选取粒子入射方向并通过散射中心的轴线为极轴, 则波函数及散射振幅都与  $\varphi$  无关, 即  $m=0$ , 故:

$$\psi(r, \theta, \varphi) = \sum_l R_l(r) P_l(\cos\theta)$$

其中  $l=0,1,2,\dots$  对应的每一个波函数是一个分波, 且均是方程的解。其中勒让德多项式  $P_l(\cos\theta)$  为已知, 讨论  $R_l(r)$  满足的径向方程:

$$\frac{1}{r^2} \frac{d}{dr} \left( r^2 \frac{dR_l(r)}{dr} \right) + \left[ k^2 - V(r) - \frac{l(l+1)}{r^2} \right] R_l(r) = 0$$

$$\text{令 } R_l(r) = \frac{u_l(r)}{r}$$

则有:

$$\frac{d^2 u_l(r)}{dr^2} + \left[ k^2 - V(r) - \frac{l(l+1)}{r^2} \right] u_l(r) = 0$$

$r \rightarrow \infty$  时, 上式可化为:

$$\frac{d^2 u_l(r)}{dr^2} + k^2 u_l(r) = 0$$

其通解形式为:

$$u_l(r) = A'_l \sin(kr + \delta'_l)$$

故有:

$$R_l(r)_{r \rightarrow \infty} \frac{A'_l}{r} \sin(kr + \delta'_l) = \frac{A_l}{kr} \sin\left(kr - \frac{l\pi}{2} + \delta_l\right)$$

$$\psi(r, \theta)_{r \rightarrow \infty} \sum_l \frac{A_l}{kr} \sin\left(kr - \frac{l\pi}{2} + \delta_l\right) P_l(\cos\theta)$$

将平面波  $\psi = e^{ikz}$  按球函数叠加展开, 则:

$$e^{ikz} = e^{ikr \cos\theta} = \sum_l (2l+1) i^l j_l(kr) P_l(\cos\theta)$$

由于:

$$j_l(kr) = \sqrt{\frac{\pi}{2kr}} J_{l+\frac{1}{2}}(kr)_{r \rightarrow \infty} \rightarrow \frac{1}{kr} \sin\left(kr - \frac{l\pi}{2}\right)$$

故:

$$e^{ikz}_{r \rightarrow \infty} \rightarrow \sum_l \frac{(2l+1) i^l}{kr} \sin\left(kr - \frac{l\pi}{2}\right) P_l(\cos\theta)$$

由此发现, 电子经散射后, 角度不变, 径向多出一个  $\delta_l$ , 称之为第  $l$  分波的相移。

经过上面的计算, 散射波的边界条件变为:

$$\psi_{r \rightarrow \infty} \rightarrow \sum_l \frac{(2l+1) i^l}{kr} \sin\left(kr - \frac{l\pi}{2}\right) P_l(\cos\theta) + f(\theta, \varphi) \frac{e^{ikr}}{r}$$

由:

$$\sum_l \frac{A_l}{kr} \sin\left(kr - \frac{l\pi}{2} + \delta_l\right) P_l(\cos\theta)$$

$$= \sum_l \frac{(2l+1) i^l}{kr} \sin\left(kr - \frac{l\pi}{2}\right) P_l(\cos\theta) + f(\theta, \varphi) \frac{e^{ikr}}{r}$$

可解得散射振幅:

$$f(\theta) = \frac{1}{2ki} \sum_{l=0}^{\infty} (2l+1) (e^{2i\delta_l} - 1) P_l(\cos\theta)$$

进而得到微分散射面积

$$q(\theta) = |f(\theta)|^2$$

再利用勒让德函数的正交性, 得到总散射截面为:

$$Q = \sum_{l=0}^{\infty} Q_l = \frac{4\pi}{k^2} \sum_{l=0}^{\infty} (2l+1) \sin^2 \delta_l$$

对于低能电子来说, 只考虑  $l=0$  时的分波  $\delta_0$  即可, 此时, 散射面积变为:

$$Q_0 = \frac{4\pi}{k^2} \sin^2 \delta_0$$

当  $\delta_0 = n\pi$  时,  $Q_0$  有最小值, 此时:

$$u = \begin{cases} \sin kr & (r < a) \\ \sin(kr + \delta_0) & (r > a) \end{cases}$$

其中,  $a$  为原子半径。由波函数的连续性条件可得:

$$\tan(k'a) = k'a$$

解此超越方程, 即可找到合适的  $k$  值, 从而得到散射截面最小时对应的电子能量。观察上式,  $ka \ll 1$  时才能保证方程成立, 这也证明了冉绍尔-汤森效应发生于低能电子态下。

### 5. 结论:

通过实验验证了冉绍尔-汤森效应, 测得电子能量降到 0.9025eV 时, 散射截面有最小值; 电子能量为 7.0756eV 时, 散射截面有最大值; 氙原子的电离电压为 13.33V;

实验中引进的几何因子  $f$ , 它的值根本上由充气节流管的结构决定。阴极电流与加速电压对  $f$  没有数量级上的影响。

用量子理论定性半定量解释了冉绍尔-汤森效应。

**致谢:**

感谢马世红老师的指导和帮助!

感谢李梦琳同学的合作!

感谢一学期以来所有老师和同学的帮助!

**参考文献:**

[1]《近代物理实验》(第二版),戴道宣、戴乐山,

高等教育出版社,2006年;

[2]氡原子散射截面反常现象的观测分析,胡永茂、张桂樯、李汝恒、陈丽、张学清,物理实验,2008年7月第28卷第7期

[3]《原子物理学》,陈宏芳,中国科学技术大学出版社,2001年

[4]《数学物理方法》(第三版),梁昆淼,高等教育出版社,2010年